



关于海水温度基本参数 μ 与 σ 的点线面估计

孙琪田

(大连760试验场)

海水温度是海水的重要物理因子之一，观测、分析和研究它的变化规律，无疑是海洋探索中的重要一环。本文仅基于数理统计方法，对海水温度的基本参数——均值 μ 与标准偏差 σ （或方差 σ^2 ）进行统计估计。由于海水温度 T 是个遵从正态变化的随机量⁽¹⁾，所以文中有关 μ 和 σ 的点、线、面的估计，均以高斯分布理论为基本依据。

一、 μ 与 σ 的点估计

假定我们对温度随机变量 T 进行了 n 次独立观测，分别得到

$$t_1, t_2, \dots, t_n.$$

如果 θ 是温度总体分布的某个参数，只要我们能找到一子样函数 $\hat{\theta}$ 来估计 θ ，则 $\hat{\theta}$ 就称为 θ 的点估计。具体说由于 $T \in N(\mu, \sigma^2)$ ，而参数 μ 和 σ 又未知，现要从总体抽出的这一子样 t_1, t_2, \dots, t_n 中来求取 μ 、 σ 的点估计量 $\hat{\mu}$ 、 $\hat{\sigma}$ ，其数学表达式即为：

$$\hat{\mu} = \frac{1}{n}(t_1 + t_2 + \dots + t_n) = \frac{1}{n} \sum_{i=1}^n t_i = \bar{t}, \quad (1)$$

$$S^2 = \frac{1}{n} \sum_{i=1}^n (t_i - \bar{t})^2 = \frac{1}{n} \left[\sum_{i=1}^n t_i^2 - n\bar{t}^2 \right]. \quad (2)$$

可以证明⁽²⁾ (1) 式是 μ 的无偏估计量，而 σ^2 的无偏估计量则为

$$\hat{\sigma}^2 = \frac{n}{n-1} S^2 = \frac{1}{n-1} \sum_{i=1}^n (t_i - \bar{t})^2 \quad (3)$$

由于点估计量 $\hat{\mu}$ 与 $\hat{\sigma}$ 也是一个随机量，所以为了描述不同取样所得估计点，我们提出如

下的线估计（区间估计）问题。

二、 μ 与 σ 的线估计

既然 $\hat{\mu}$ 和 $\hat{\sigma}$ 为随机量，它必然随观测容量数而变。 $\hat{\mu}$ 和 $\hat{\sigma}$ 在某一给定置信率中，能够包括总体参数 μ 和 σ 的区间长度究竟有多长？我们姑且把估算这一变化长度称之为线估计。计算线估计长度的基本公式为

$$P(\theta_1 < \theta < \theta_2) = 1 - \alpha. \quad (4)$$

式中 θ 仍如前所述，代表温度总体中的某个参数（如 μ ， σ ， σ^2 等）， θ_1 和 θ_2 表示在给定置信度 α 情况下， θ 取值的上、下限， $1 - \alpha$ 为置信率，因此，对于 μ 与 σ 便有：

$$P\left(\left|\frac{\bar{t} - \mu}{\sigma/\sqrt{n}}\right| < u_{1-\frac{\alpha}{2}}\right) = 1 - \alpha, \quad (5)$$

$$P\left[\frac{\hat{\sigma}^2(n-1)}{\lambda_2} < \sigma^2 < \frac{\hat{\sigma}^2(n-1)}{\lambda_1}\right] = 1 - \alpha. \quad (6)$$

其置信区间便为：

$$(\bar{t} - u_{1-\frac{\alpha}{2}} \frac{\sigma/\sqrt{n}}{1}, \bar{t} + u_{1-\frac{\alpha}{2}} \frac{\sigma/\sqrt{n}}{1}), \quad (7)$$

$$(\hat{\sigma} \sqrt{\frac{n-1}{\lambda_2}}, \hat{\sigma} \sqrt{\frac{n-1}{\lambda_1}}). \quad (8)$$

通常 (7) 式中的 σ 是未知的，所以采用下式⁽⁵⁾来计算 μ 的置信区间，即：

$$(\bar{t} - u_{\nu, 1-\frac{\alpha}{2}} \hat{\sigma} / \sqrt{n-1}, \bar{t} + u_{\nu, 1-\frac{\alpha}{2}} \hat{\sigma} / \sqrt{n-1}). \quad (9)$$

上述式中 $\hat{\sigma}$ 为子样标准差，由 (3) 式求得，它遵从自由度为 $n-1$ 的 X^2 分布。 $u_{1-\frac{\alpha}{2}}$ 和

$u_{\nu, 1-\frac{\alpha}{2}}$ 可分别根据 α 查正态分布表和由给定

置信率及自由度查“学生氏” t 分布表⁽⁵⁾求得。 λ_1 和 λ_2 是在给定 $1-\alpha$ 时所选取的置信区间长度较短的置信限，由给定置信率和自由度查 χ^2 分布表⁽⁵⁾获得，也可由文献(3)所介绍的公式来求得。

现分别令 μ 和 σ 的置信上、下限为：

$$\mu_{\text{上}} = \bar{t} - u_{v, 1-\frac{\alpha}{2}} \hat{\sigma} / \sqrt{n-1}, \quad (10)$$

$$\mu_{\text{下}} = \bar{t} + u_{v, 1-\frac{\alpha}{2}} \hat{\sigma} / \sqrt{n-1}. \quad (11)$$

$$\sigma_{\text{上}} = \hat{\sigma} \sqrt{\frac{n-1}{\lambda_2}}, \quad (12)$$

$$\sigma_{\text{下}} = \hat{\sigma} \sqrt{\frac{n-1}{\lambda_1}}. \quad (13)$$

则 μ 和 σ 的置信长度即为：

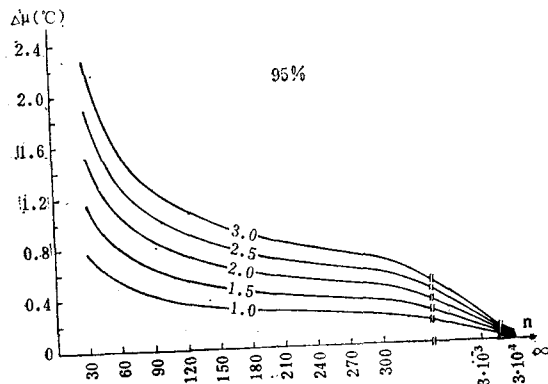


图 1

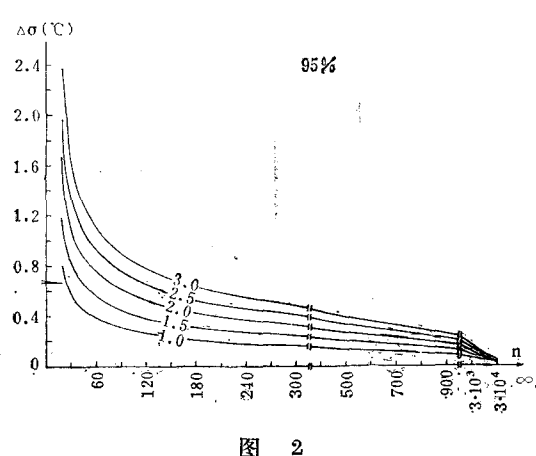


图 2

$$\Delta\mu = \mu_{\text{上}} - \mu_{\text{下}} = 2u_{v, 1-\frac{\alpha}{2}} \hat{\sigma} / \sqrt{n-1},$$

(14)

$$\Delta\sigma = \sigma_{\text{上}} - \sigma_{\text{下}} = \hat{\sigma} \sqrt{n-1} \left(\frac{1}{\sqrt{\lambda_1}} - \frac{1}{\sqrt{\lambda_2}} \right)$$

(15)

由(14)和(15)式分别绘制了置信率为95%时的 $\Delta\mu$ 与 n 和 $\Delta\sigma$ 与 n (在 $\hat{\sigma}$ 为1.0, 1.5, 2.0, 2.5, 3.0五种情况下)的关系图(图1和图2)，以及 $\Delta\mu$ 与 $\hat{\sigma}$ 跟 $\Delta\sigma$ 与 $\hat{\sigma}$ (在不同 n 值的情况下)的关系图(图3和图4)。

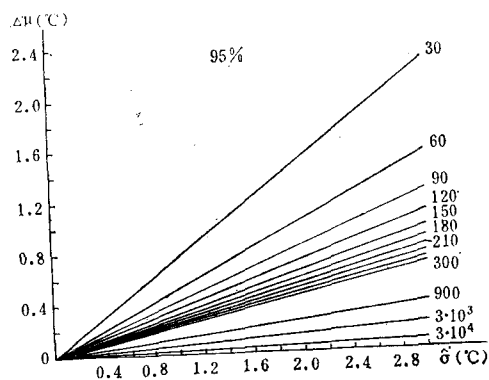


图 3

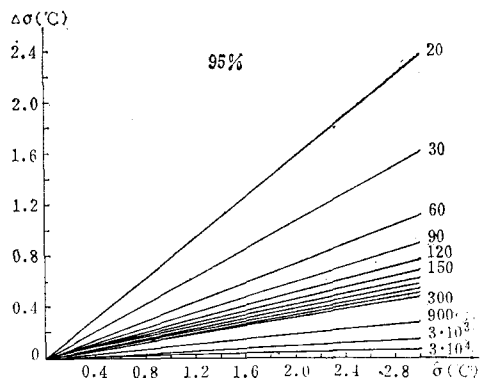


图 4

三、 μ 和 σ 联合置信区间的估计

根据上面已经给出的 μ 和 σ 的置信区间估算式(5)和(6)，可以写成：

$$P\left(-u_{1-\frac{\alpha}{2}} < \frac{\bar{t}-\mu}{\sigma/\sqrt{n}} < u_{1-\frac{\alpha}{2}}\right) = 1-\alpha,$$

$$P\left(\lambda_1 < \frac{\hat{\sigma}^2(n-1)}{\sigma^2} < \lambda_2 = 1-\alpha\right).$$

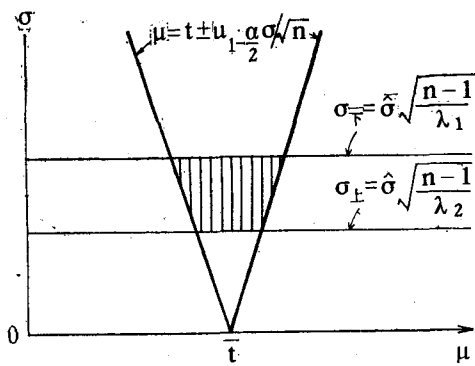


图 5

我们知道变量 \bar{t} 和 σ 的分布是独立分布，则 μ 和 σ 联合置信率的分布，即为⁽⁴⁾：

$$P\left[-u_{1-\frac{\alpha}{2}} < \frac{\bar{t}-\mu}{\sigma/\sqrt{n}} < u_{1-\frac{\alpha}{2}}, \lambda_1 < \frac{\hat{\sigma}^2(n-1)}{\sigma^2} < \lambda_2\right] = (1-\alpha)^2. \quad (16)$$

那么 μ 与 σ 的联合置信面，即如图 5（阴影部分）所示。若令阴影的面积为 ΔQ ，其计算公式可根据梯形原理推出：

$$\Delta Q = 2u_{1-\frac{\alpha}{2}} \cdot \hat{\sigma} \sqrt{\frac{n-1}{n}} \left(\frac{1}{\sqrt{\lambda_1}} + \frac{1}{\sqrt{\lambda_2}} \right) \cdot \hat{\sigma} \sqrt{n-1} \left(\frac{1}{\sqrt{\lambda_1}} - \frac{1}{\sqrt{\lambda_2}} \right) \cdot \frac{1}{2} = u_{1-\frac{\alpha}{2}}.$$

$$\cdot \frac{\hat{\sigma}^2(n-1)}{\sqrt{n}} \left(\frac{1}{\lambda_1} - \frac{1}{\lambda_2} \right). \quad (17)$$

此处的 ΔQ 勿须给出它的具体量纲。它的实际含意可理解在取样均值为 \bar{t} 及取样标准差为 $\hat{\sigma}$ 时，

$$\left. \begin{aligned} \sigma &\text{ 从 } \hat{\sigma} \sqrt{\frac{n-1}{\lambda_2}} \rightarrow \hat{\sigma} \sqrt{\frac{n-1}{\lambda_1}} \\ \mu &\text{ 从 } \bar{t} \mp u_{1-\frac{\alpha}{2}} \cdot \frac{\hat{\sigma}}{\sqrt{\lambda_2}} \sqrt{\frac{n-1}{n}} \\ &\rightarrow \bar{t} \mp u_{1-\frac{\alpha}{2}} \cdot \frac{\hat{\sigma}}{\sqrt{\lambda_1}} \sqrt{\frac{n-1}{n}} \end{aligned} \right\} \text{置信率}$$

为 $1-\alpha$ 条件下，其联合置信率为 $(1-\alpha)^2$ 时， μ 与 σ 的联合置信域的面估计量。

现以北黄海一海洋水文观测站的冬春夏秋代表月（2、5、8、11）表层水温为例，对 μ 和 σ 于不同年份（不同观测数）的点、线、面的估计值列入下表。

四、结语

通过对海水温度主要参数 μ 与 σ 的点、线、面的估计可知，估计量的准确程度与取样数 (n) 有关，当 $n \rightarrow \infty$ 时，点估计量 $\hat{\mu}$ 与 $\hat{\sigma}$ 就趋向真值 μ 与 σ ，而围绕真值 μ 与 σ 的线估计长度 $\Delta\mu$ 和 $\Delta\sigma$ 与面估计值 ΔQ 都趋向于零，这时在以 σ 为纵轴、 μ 为横轴的坐标系中，对某一特定海区、特定时间上的温度的点、线、面的

μ 和 σ 的点、线、面估计值表

| 月 份 | | 2 | | | 5 | | | 8 | | | 11 | | | |
|-----------------|--|----------------|------|------|------|------|------|------|------|------|------|------|------|------|
| 年 份 | | 63 | 62— | 62— | 62— | 63 | 62— | 62— | 63 | 62— | 62— | 63 | 62— | 62— |
| 观 测 数 (n) | | 28 | 113 | 283 | 452 | 31 | 124 | 310 | 496 | 31 | 124 | 310 | 496 | 30 |
| 点估计值 (℃) | | $\hat{\mu}$ | 1.1 | 1.8 | 1.1 | 1.1 | 9.7 | 10.2 | 9.8 | 9.7 | 23.9 | 23.0 | 22.6 | 22.3 |
| | | $\hat{\sigma}$ | 0.53 | 1.04 | 1.10 | 1.07 | 1.44 | 1.64 | 1.67 | 1.58 | 0.55 | 1.11 | 1.22 | 1.45 |
| 线估计值 (℃) | | $\Delta\mu$ | 0.42 | 0.39 | 0.26 | 0.20 | 1.07 | 0.58 | 0.37 | 0.28 | 0.41 | 0.40 | 0.27 | 0.26 |
| | | $\Delta\sigma$ | 0.30 | 0.28 | 0.18 | 0.14 | 0.79 | 0.42 | 0.27 | 0.20 | 0.30 | 0.28 | 0.19 | 0.18 |
| 面估计值 ΔQ | | | 0.13 | 0.11 | 0.05 | 0.03 | 0.86 | 0.25 | 0.10 | 0.06 | 0.13 | 0.11 | 0.05 | 0.05 |
| | | | 1.46 | 0.33 | 0.11 | 0.07 | | | | | | | | |

估计值仅表现为一点。这就是说，在当 $n \rightarrow \infty$ 时，仅作点估计值就可以了。

然而，在实际问题中，由于我们对海水溫度的观测取样总是有限的，要想无穷尽的取样那是根本办不到的，这就要求人们如何选择最佳观测数，以达到通过子样了解总体的目的。

总之，我们认为对海水溫度基本参数 μ 与 σ 作点线面的定量估计，不仅可帮助我们有效地选取最佳观测数，以获取在给定条件下令人满意的统计结果，而且对海水溫度的中、长期预报方面，也有着一定的参考价值。

参 考 文 献

- [1] 水文组, 1981。试验海区表层水温的统计析。海上试验与测量技术1(2): 1—3。
- [2] 王梓坤, 1979。概率论基础及其应用。科学出版社, 219页, 223—225页。
- [3] 孙琪田等, 1982。北隍城、老虎滩、小长山地区海水表层温度的某些统计特性。海洋通报1(4): 8。
- [4] A. M. 穆德等(史定华译), 1978。统计学导论。科学出版社, 289页。
- [5] Bethea, R. M., 1975. Statistical Methods for Engineers and Scientists, Marcel Dekker, Inc. New York and Basel. p. 135, pp. 518—532.